

---

## РОБОТОТЕХНИКА

---

УДК 531.36

# ОРГАНИЗАЦИЯ ПОВОРОТА КОРПУСА ВИБРАЦИОННОГО РОБОТА ВОКРУГ ВЕРТИКАЛИ<sup>1</sup>

© 2023 г. М. А. Гарбуз<sup>a,\*</sup>, М. З. Досаев<sup>a</sup>, В. А. Самсонов<sup>a</sup>

<sup>a</sup>НИИ механики МГУ, Москва, Россия

\*e-mail: misha-garbuz@yandex.ru

Поступила в редакцию 25.08.2022 г.

После доработки 09.09.2022 г.

Принята к публикации 26.09.2022 г.

Рассматривается движение вибрационного робота, состоящего из корпуса, двух однородных маховиков и дебаланса. Построена математическая модель плоскопараллельного движения. Показана принципиальная возможность управления дебалансом, результатом которого является поворот робота в горизонтальной плоскости. Описаны зависимости угла поворота корпуса от параметров системы. Определены условия полной остановки корпуса после совершения поворота. Проанализировано смещение корпуса из начального положения.

DOI: 10.31857/S0002338823010031, EDN: IZZMOG

**Введение.** Существует класс устройств, способных передвигаться в пространстве за счет неравномерного периодического движения внутренних элементов и сил взаимодействия различной природы между корпусом и внешней средой. Вопрос о возможности создания таких аппаратов возник в 1964 г. в связи с попыткой дискредитации ньютоновской механики, но систематические научные его исследования начались только в последнее время, например с работы [1], и продолжаются до сих пор.

С физической точки зрения способ движения таких устройств близок к виброперемещениям. Теория вибрационной механики была введена в [2]. Будем называть такие устройства вибрационными роботами. Изолированность их двигающихся частей от внешних воздействий делает актуальным применение таких роботов в условиях агрессивных сред, например, в глубине водоемов, в экстремальных климатических условиях Арктики, пустынь или на других планетах, а также в медицине [3, 4].

В [5] рассмотрена двумерная задача о наиболее быстром вращении твердого тела при перемещении внутренней массы. Способ управления ориентацией твердого тела при помощи вспомогательных масс, движущихся относительно тела, предложен в [6]. В [7] аналитически и экспериментально исследуется движение по шероховатой горизонтальной плоскости мобильного робота капсульного типа, управляемого периодической упругой силой. Результаты модельных и экспериментальных исследований согласуются между собой.

Среди подобных механических систем особое место занимают мобильные роботы, состоящие из нескольких тел [8, 9], и роботы, перемещающиеся в жидкой среде [10–13]. В частности, в [10] изучается движение в идеальной жидкости произвольного двумерного тела с подвижной внутренней массой и можно добиться перемещения тела в заданную точку. В [14] показано, что мобильные роботы могут использовать высокочастотные параметрические колебания внутренней массы для создания быстрого и эффективного движения по шероховатой поверхности.

Описаны схемы, реализующие прямолинейное и плоское движение [15–18] в сопротивляющейся среде с вязким и сухим трением. Скольжение по шероховатой плоскости параллелепипеда с внутренними маховиком и подвижной точкой приведено в [19]. Показано наличие эффекта поворота тела вокруг вертикальной оси вследствие неравномерности нормального напряжения в области контакта. В [20] рассмотрено плоское движение твердого тела при перемещении двух внутренних масс. Возможен периодический режим движения, состоящий из нескольких фаз:

<sup>1</sup> Исследование выполнено при финансовой поддержке РНФ (проект № 22-21-00303).

покой, скольжение, отрыв, свободное движение над горизонтальной плоскостью, безударный контакт с плоскостью и скольжение по ней до остановки.

В [21] была представлена плоская модель вибрационного робота с несбалансированным внутренним ротором, опирающегося плоским дном на шероховатую плоскость. Предложен метод построения алгоритма управления вращением ротора, реализующий возможность корпуса оторваться от поверхности на практически нулевую высоту и в таком режиме полета совершить поступательное движение. Подобный метод был применен в [22–24] в задаче о плоском движении инерционного робота с одним дебалансом и одним маховиком. Маховик использовался для сохранения горизонтальной ориентации корпуса в режиме полета.

Непрямолинейное движение вибрационного робота по шероховатой плоскости рассмотрено в ряде работ [25–33]. В [25, 27, 28] для поворота использован однородный вращающийся ротор, установленный внутри полости твердого тела, а для линейного смещения – материальная точка с одной степенью свободы. В [26, 29, 32, 33] рассчитаны схемы робота с двумя осциллирующими вдоль заданных направлений материальными точками. В [9, 10] показана модель вибрационной системы с двумя роторами, вращающимися с переменной угловой скоростью. Движение робота вызвано силами инерции и трением между плоскостью и опорными частями корпуса.

В статье рассматривается режим полета пространственной конструкции робота с одним дебалансом и двумя маховиками. Этот режим реализуется посредством ускоренного движения дебаланса. Ось вращения дебаланса смещена от горизонтали на некоторый угол, что позволяет корпусу в режиме “полета” отклоняться от прямолинейного движения и поворачивать на определенный угол вокруг вертикали. Предполагается, что маховики обеспечивают стабилизацию горизонтальной ориентации корпуса в таком режиме. Их вращение в данной работе детально не приводится.

**1. Описание системы и постановка задачи.** Рассматривается движение по шероховатой горизонтальной плоскости вибрационного робота (рис. 1), корпус массы  $m_1$  которого содержит невесомую рамку с дебалансом – материальной точкой  $C$  массой  $m_2$  и два маховика, представляющих собой однородные диски массой  $m_3, m_4$  соответственно. Дно корпуса – плоская платформа с тремя точками опоры:  $P, L, R$ . Дебаланс движется по окружности в плоскости рамки вокруг точки  $S$ , являющейся центром масс корпуса ( $SC = l$ ). Рамка наклонена на установочный угол  $\psi \in (-\pi/2, \pi/2)$  по отношению к плоскости, перпендикулярной платформе. Маховики вращаются вокруг своих осей динамической симметрии, проходящих через их центры  $A$  и  $B$ . Центры маховиков расположены на одинаковой высоте в плоскости, перпендикулярной дну корпуса и проходящей через его продольную ось. Ось вращения ротора  $A$  параллельна продольной оси дна, а ось ротора  $B$  перпендикулярна продольной оси дна.

На систему действуют следующие внешние силы: сила тяжести на каждый элемент системы:  $m_1\vec{g}, m_2\vec{g}, m_3\vec{g}, m_4\vec{g}$  ( $\vec{g}$  – ускорение силы тяжести), а также в случае контакта с опорой сила реакций  $\vec{F}_P, \vec{F}_L$  и  $\vec{F}_R$  в точках  $P, L, R$  соответственно. Силы реакции опоры имеют вертикальные  $\vec{N}_P, \vec{N}_L$  и  $\vec{N}_R$  и горизонтальные  $\vec{R}_P, \vec{R}_L$  и  $\vec{R}_R$  составляющие. При скольжении тела по опоре они связаны между собой по закону Кулона:  $|\vec{R}_P| = \mu |\vec{N}_P|, |\vec{R}_L| = \mu |\vec{N}_L|, |\vec{R}_R| = \mu |\vec{N}_R|$ , где  $\mu$  – коэффициент трения между телом и опорной плоскостью. Аэродинамическими силами пренебрегаем. В дальнейшем можно учесть влияние воздействия на объект среды, в которой происходит движение, (воздуха/жидкости). Такое усложнение модели можно реализовать, опираясь на квазистатический подход к описанию взаимодействия твердого тела со средой, а также можно принимать во внимание эффекты, связанные с так называемыми присоединенными массами (см. [34]), или, используя феноменологические модели, например, вводить присоединенный осциллятор [35]. Учет воздействия среды не внесет принципиальных изменений в подход, применяемый далее для построения алгоритма управления.

Опишем внутренние силы, действующие на элементы системы:

момент от двигателя  $\vec{M}_{12}$  влияет со стороны корпуса 1 на дебаланс 2, а со стороны дебаланса 2 на корпус 1 – момент  $\vec{M}_{21}$ ;

момент от двигателя  $\vec{M}_{13}$  действует со стороны корпуса 1 на маховик 3, а со стороны маховика 3 на корпус 1 – момент  $\vec{M}_{31}$ ;

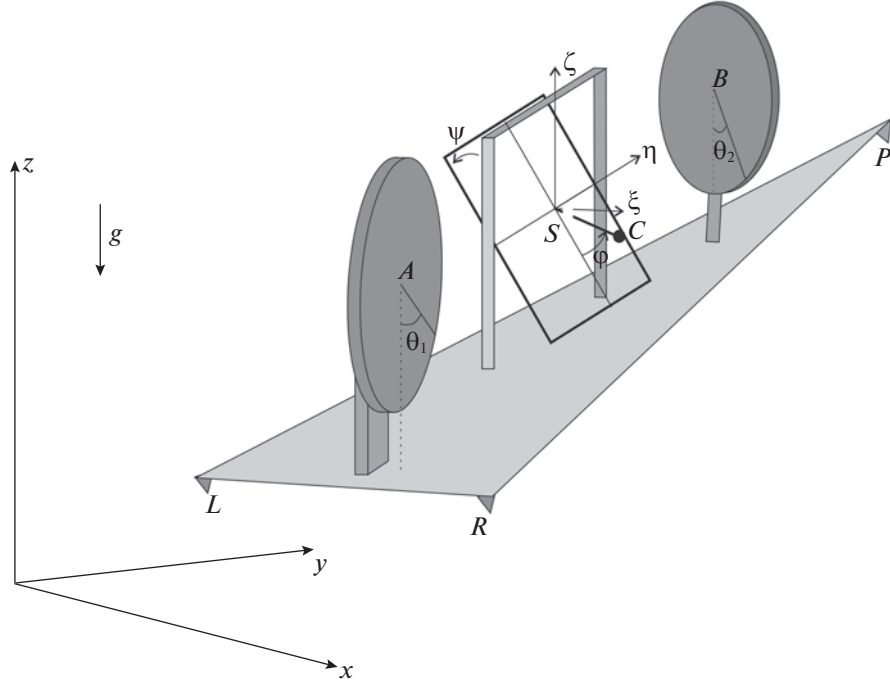


Рис. 1. Схема механической системы

момент от двигателя  $\vec{M}_{14}$  поступает со стороны корпуса 1 на маховик 4, а со стороны маховика 4 на корпус 1 действует момент  $\vec{M}_{41}$ ;

сила реакции от корпуса 1 на дебаланс 2  $\vec{F}_{12} = -\vec{F}_{21}$ , здесь  $\vec{F}_{ij}$  – сила, с которой  $i$ -тое тело действует на  $j$ -тое; сила реакции от корпуса 1 на маховик 3  $\vec{F}_{13} = -\vec{F}_{31}$ ;

сила реакции от корпуса 1 на маховик 4  $\vec{F}_{14} = -\vec{F}_{41}$ .

Введем неподвижную систему координат  $Oxyz$ : ось  $z$  направлена вертикально вверх, а плоскость  $xy$  параллельна опорной поверхности.

Пусть  $S\xi\eta\zeta$  – подвижная система координат, оси которой направлены по главным осям инерции корпуса:  $S\xi$  перпендикулярна плоскости платформы,  $S\eta$  лежит в плоскости, перпендикулярной плоскости платформы, и направлена ортогонально  $S\xi$ ,  $S\xi$  дополняет систему до правой. Положение системы описывается следующими обобщенными координатами:  $x, y, z$  – координаты точки  $S$ ,  $\alpha, \beta, \gamma$  – углы тангенса, крена и рыскания для корпуса соответственно,  $\theta_A, \theta_B$  – углы поворотов маховиков относительно корпуса (циклические координаты),  $\varphi$  – угол поворота дебаланса относительно корпуса, отсчитываемый от положения, максимально приближенного к платформе.

Ориентацию системы  $S\xi\eta\zeta$  зададим углами Крылова:

$$\begin{aligned} \begin{pmatrix} \vec{e}_\xi \\ \vec{e}_\eta \\ \vec{e}_\zeta \end{pmatrix} &= \begin{pmatrix} 1 & 0 & 0 \\ 0 & \cos\beta & -\sin\beta \\ 0 & \sin\beta & \cos\beta \end{pmatrix} \begin{pmatrix} \cos\alpha & 0 & -\sin\alpha \\ 0 & 1 & 0 \\ \sin\alpha & 0 & \cos\alpha \end{pmatrix} \begin{pmatrix} \cos\gamma & -\sin\gamma & 0 \\ \sin\gamma & \cos\gamma & 0 \\ 0 & 0 & 1 \end{pmatrix} \begin{pmatrix} \vec{e}_x \\ \vec{e}_y \\ \vec{e}_z \end{pmatrix} = \\ &= \begin{pmatrix} \cos\alpha\cos\gamma & -\cos\alpha\sin\gamma & -\sin\alpha \\ -\cos\gamma\sin\alpha\sin\beta + \cos\beta\sin\gamma & \cos\gamma\cos\beta + \sin\alpha\sin\beta\sin\gamma & -\cos\alpha\sin\beta \\ \sin\alpha\cos\gamma\cos\beta + \sin\beta\sin\gamma & \cos\gamma\sin\beta - \cos\beta\sin\alpha\sin\gamma & \cos\alpha\cos\beta \end{pmatrix} \begin{pmatrix} \vec{e}_x \\ \vec{e}_y \\ \vec{e}_z \end{pmatrix}. \end{aligned}$$

Угловая скорость подвижной системы координат

$$\vec{\omega} = \begin{pmatrix} \dot{\beta} \cos \gamma - \dot{\alpha} \cos \beta \sin \gamma \\ \dot{\alpha} \cos \beta \cos \gamma + \dot{\beta} \sin \gamma \\ \dot{\alpha} \sin \beta + \dot{\gamma} \end{pmatrix}^T \begin{pmatrix} \vec{e}_\xi \\ \vec{e}_\eta \\ \vec{e}_\zeta \end{pmatrix}.$$

Считаем, что в любой момент времени мы можем задавать необходимые угловые ускорения маховиков и дебаланса. Контролируя вращение дебаланса, можно изменять нормальные реакции в точках опоры, в том числе добиваться обнуления этих реакций. Задача маховиков состоит в том, чтобы поддерживать платформу горизонтальной, обеспечивая нулевой крен и тангаж. В отличие от [6], где для задания ориентации тела используются подвижные материальные точки, и от [36], где ориентация объектов стабилизируется магнитными моментами, горизонтальную стабилизацию платформы осуществляют маховиками. Для реализации этого в системе есть два управляющих ускорения маховиков, поэтому такая задача разрешима. В рамках настоящей работы будем считать, что движение маховиков организовано должным образом, и рассматривать только плоскопараллельное движение корпуса, при котором  $\alpha(t) \equiv 0$ ,  $\beta(t) \equiv 0$ ,  $\vec{\omega} = \dot{\gamma} \vec{e}_z$ .

**2. Математическая модель.** Для каждого элемента механической системы определим уравнения, описывающие их движение.

2.1. К о р п у с. Запишем для корпуса теорему о движении центра масс и теорему об изменении кинетического момента относительно центра масс:

$$\begin{cases} m_1 \dot{\vec{v}}_S = m_1 \vec{g} + \vec{F}_{21} + \vec{F}_{31} + \vec{F}_{41} + \vec{F}_P + \vec{F}_L + \vec{F}_R, \\ \frac{d}{dt} (\mathbb{J}_S \vec{\omega}) = \vec{M}_{21} + \vec{M}_{31} + \vec{M}_{41} + [\overrightarrow{SA}, \vec{F}_{31}] + [\overrightarrow{SB}, \vec{F}_{41}] + [\overrightarrow{SP}, \vec{F}_P] + [\overrightarrow{SL}, \vec{F}_L] + [\overrightarrow{SR}, \vec{F}_R]. \end{cases} \quad (2.1)$$

Здесь  $\vec{v}_S$  – скорость центра масс корпуса,  $\mathbb{J}_S$  – тензор инерции корпуса, имеющий в связанных осях  $S\xi\eta\zeta$  диагональный вид  $\mathbb{J}_S = \text{diag}(J_{S\xi}, J_{S\eta}, J_{S\zeta})$ .

2.2. Д е б а л а н с. Получим систему уравнений, описывающую движение дебаланса:

$$\begin{cases} m_2 \vec{a}_C = m_2 \vec{g} + \vec{F}_{12}, \\ \frac{d \vec{K}_S}{dt} = \vec{M}_{12}. \end{cases}$$

Ускорение точки  $C$  запишем в следующей форме:

$$\vec{a}_C = \frac{d}{dt} (\vec{v}_S + [\vec{\omega}_C, \overrightarrow{SC}]).$$

Здесь  $\vec{\omega}_C = \vec{\omega} + \dot{\phi}(\cos \psi \vec{e}_\xi + \sin \psi \vec{e}_\zeta)$  – угловая скорость дебаланса,  $\vec{K}_S = [\overrightarrow{SC}, \vec{v}_C]$  – момент количества движения дебаланса относительно центра масс,  $\vec{v}_C$  – скорость точки  $C$ , вектор  $\overrightarrow{SC}$  можно представить в виде  $\overrightarrow{SC} = l(\cos \phi \sin \psi \vec{e}_\xi + \sin \phi \vec{e}_\eta - \cos \psi \vec{e}_\zeta)$ .

2.3. М а х о в и к и. Следующая система уравнений описывает движение маховиков:

$$\begin{cases} m_3 \vec{a}_A = m_3 \vec{g} + \vec{F}_{13}, & m_4 \vec{a}_B = m_4 \vec{g} + \vec{F}_{14}, \\ \frac{d \vec{K}_A}{dt} = \vec{M}_{13} & \frac{d \vec{K}_B}{dt} = \vec{M}_{14}. \end{cases}$$

Здесь  $\vec{K}_A = \mathbb{J}_A \vec{\omega}_A$ , где  $\vec{\omega}_A = \vec{\omega} + \dot{\theta}_A \vec{e}_\xi$  – угловая скорость маховика 3,  $\vec{K}_B = \mathbb{J}_B \vec{\omega}_B$ , где  $\vec{\omega}_B = \vec{\omega} + \dot{\theta}_B \vec{e}_\eta$  – угловая скорость маховика 4,  $\mathbb{J}_A = \text{diag}(J_{A\xi}, J_{A\eta}, J_{A\zeta})$ ,  $\mathbb{J}_B = \text{diag}(J_{B\xi}, J_{B\eta}, J_{B\zeta})$  – центральные тензоры инерции маховиков в связанных осях  $A\xi\eta\zeta$  и  $B\xi\eta\zeta$ . Ускорение центров масс маховиков  $\vec{a}_A$ ,  $\vec{a}_B$  может быть найдено по формулам

$$\vec{a}_A = \frac{d}{dt} (\vec{v}_S + [\vec{\omega}, \overrightarrow{SA}]), \quad \vec{a}_B = \frac{d}{dt} (\vec{v}_S + [\vec{\omega}, \overrightarrow{SB}]).$$

Для упрощения предположим, что маховики имеют одинаковую массу  $m_3 = m_4 = m$ , а также что их центры расположены симметрично относительно точки  $S$ , т.е.  $\overrightarrow{SA} = -\overrightarrow{SB} = \eta_A \vec{e}_\eta$ . Тогда

$$[\overrightarrow{SA}, \vec{F}_{31}] + [\overrightarrow{SB}, \vec{F}_{41}] = [\overrightarrow{SA}, \vec{F}_{31} - \vec{F}_{41}] = m[\overrightarrow{SA}, \vec{a}_B - \vec{a}_A] = \\ = m \left[ \overrightarrow{SA}, \frac{d}{dt} (\vec{v}_S + [\vec{\omega}, \overrightarrow{SB}]) - \frac{d}{dt} (\vec{v}_S + [\vec{\omega}, \overrightarrow{SA}]) \right] = -2m \left[ \overrightarrow{SA}, \frac{d}{dt} [\vec{\omega}, \overrightarrow{SA}] \right] = -2m \frac{d}{dt} [\overrightarrow{SA}, [\vec{\omega}, \overrightarrow{SA}]],$$

так как

$$\left[ \frac{d}{dt} \overrightarrow{SA}, [\vec{\omega}, \overrightarrow{SA}] \right] = 0.$$

Обозначим через  $M$  суммарную массу всех элементов системы. Далее подставим в систему (2.1) выражения для  $\vec{F}_{13}, \vec{F}_{14}$  с учетом  $\vec{a}_A, \vec{a}_B$  и  $\vec{a}_C, \vec{M}_{12}, \vec{M}_{13}, \vec{M}_{14}$ , после чего перегруппируем слагаемые в уравнениях (2.1) и получим систему, описывающую движение робота:

$$\begin{cases} \frac{d}{dt} (M\vec{v}_S + m_2[\vec{\omega}_C, \overrightarrow{SC}]) = M\vec{g} + \vec{F}_P + \vec{F}_L + \vec{F}_R, \\ J_{Sz} \ddot{\vec{e}}_z = -\frac{d}{dt} (\vec{K}_A + \vec{K}_B + \vec{K}_S + 2m[\overrightarrow{SA}, [\vec{\omega}, \overrightarrow{SA}]] + [\overrightarrow{SP}, \vec{F}_P] + [\overrightarrow{SL}, \vec{F}_L] + [\overrightarrow{SR}, \vec{F}_R]). \end{cases} \quad (2.2)$$

**3. Проекция уравнений движения на вертикаль.** 3.1. Отсутствие контакта корпуса с опорой. Спроектируем первое уравнение системы (2.2) на ось  $z$ :

$$\frac{d}{dt} (M\dot{z} + m_2 \langle [\vec{\omega}_C, \overrightarrow{SC}], \vec{e}_z \rangle) = -Mg + N.$$

Здесь через  $N$  обозначена суммарная нормальная реакция  $\langle \vec{F}_P + \vec{F}_L + \vec{F}_R, \vec{e}_z \rangle$ . Рассмотрим состояние механической системы, при котором нормальные реакции в опорах равны нулю. Принципиальная возможность такого состояния показана в работах [21–24]. В частности, для случая  $\psi = 0$  была описана так называемая фаза полета, при которой  $N = 0$  и корпус не совершает движения вдоль вертикали. И хотя в данной системе рамка дебаланса установлена под углом к вертикали, соответствующее уравнение имеет тот же вид, что и в [23], но с поправкой на установочный угол  $\psi$

$$\frac{d}{dt} (m_2 l \dot{\phi} \cos \psi \sin \phi) = -Mg. \quad (3.1)$$

По аналогии с [24] для реализации описанного плоскопараллельного движения необходимо, чтобы положение  $\phi$  и угловая скорость  $\dot{\phi}$  дебаланса удовлетворяли соотношению (частному интегралу уравнения 3.1)

$$\dot{\phi}(\phi) = \frac{\sqrt{2Mg(1 + \cos \phi)/m_2 l \cos \psi}}{|\sin \phi|} = \frac{\sqrt{Mg/m_2 l \cos \psi}}{\sin \frac{\phi}{2}}. \quad (3.2)$$

Предполагаются две основные фазы движения.

*Фаза разгона.* Корпус неподвижен за счет силы трения покоя, при этом дебаланс набирает необходимое количество движения, чтобы величины угла его поворота  $\phi$  и скорости его вращения  $\dot{\phi}$  могли достичь значений, удовлетворяющих зависимости (3.2). Вид зависимости (3.2) на фазовой плоскости  $(\phi, \dot{\phi})$  и алгоритмы осуществления фазы разгона описаны в [23, 24, 29] и не рассматриваются в рамках настоящей статьи. На этой фазе, в частности, возможны изменение угла  $\psi$  рамки и уменьшение угловых скоростей (разгрузка) маховиков.

*Фаза полета.* В этой фазе движения угол  $\phi$  и угловая скорость  $\dot{\phi}$  удовлетворяют соотношению (3.2). Дебаланс вначале ( $\phi < \pi$ ) замедляется и изменяет количество движения и кинетический момент корпуса, в результате чего нормальные реакции уменьшаются до нуля. Корпус устремляется за дебалансом и совершает перемещение с вращением вокруг вертикали. После прохождения положения  $\phi = \pi$  дебаланс снова ускоряется, из-за чего замедляется вращение корпуса. Как было показано в [23], в начальный ( $t = 0$ ) и конечный моменты ( $t = t_*$ ) фазы полета угловая скорость дебаланса одинакова.

Пусть в начальный момент фазы полета состояние дебаланса следующее:  $\phi = \phi_0$ ;  $\dot{\phi} = \dot{\phi}_0$ . Найдем программное управление дебаланса, обеспечивающее  $N = 0$ . Для этого проинтегрируем выражение (3.1) с начальными условиями  $\dot{\phi}_0, \phi_0$ :

$$\phi(t) = \arccos \left( \frac{Mgt^2}{2m_2l \cos \psi} - 2t\sqrt{Mg/m_2l \cos \psi} \cos \frac{\Phi_0}{2} + \cos \phi_0 \right). \quad (3.3)$$

Частный вид траектории (3.3) для случая  $\psi = 0$  был определен в работе [37]. Отметим, что существуют и другие технические способы управления мотором дебаланса, реализующие фазу полета. Например, формула (3.2) представляет собой обратную связь угловой скорости дебаланса по его положению.

Кроме того, подставим (3.2) в (3.1) и определим обратную связь для ускорения дебаланса от угла поворота:

$$\ddot{\phi}(\phi) = -\frac{Mg}{2m_2l \cos \psi} \frac{\cos \frac{\Phi}{2}}{\sin^3 \frac{\Phi}{2}}. \quad (3.4)$$

Формулы (3.2)–(3.4), а также следуемые из них зависимости  $\dot{\phi}(t), \ddot{\phi}(t), \ddot{\phi}(\phi)$  могут быть использованы для управления дебалансом при реализации вибрационного робота, исходя из конструкционных особенностей управляющего мотора.

Вычислим время  $t_*$ , которое затрачивается на фазу полета. Из (3.3) вытекает, что

$$\cos(2\pi - \Phi_0) = \frac{Mgt_*^2}{2m_2l \cos \psi} - 2t_*\sqrt{Mg/m_2l \cos \psi} \cos \frac{\Phi_0}{2} + \cos \phi_0 \Rightarrow t_* = \frac{4 \cos \frac{\Phi_0}{2}}{\sqrt{Mg/m_2l \cos \psi}}.$$

**3.2. Поворот корпуса вокруг вертикали.** Спроектируем второе уравнение системы (2.2) на вертикаль и проинтегрируем его с начальными условиями  $\dot{\gamma}(0) = 0$ ,  $\gamma(0) = 0$ ,  $J_{S\zeta}\dot{\gamma} = -m_3l^2(\phi \sin \psi + \dot{\gamma}(\sin^2 \phi + \cos^2 \phi \sin^2 \psi)) - J_{A\zeta}\dot{\gamma} - J_{B\zeta}\dot{\gamma} - 2m\eta_A^2\dot{\gamma} + m_2l^2\dot{\phi}_0 \sin \psi$ , откуда заключаем, что

$$\dot{\gamma} = \frac{(\dot{\phi}_0 - \dot{\phi}) \sin \psi}{\sin^2 \phi + \cos^2 \phi \sin^2 \psi + \frac{J_{S\zeta} + J_{A\zeta} + J_{B\zeta} + 2m\eta_A^2}{m_2l^2}}. \quad (3.5)$$

Таким образом, с учетом подстановок (3.2) и (3.3) получаем

$$\gamma(t) = \sin \psi \sqrt{Mg/m_2l \cos \psi} \int_0^t \frac{\frac{1}{\sin \frac{\Phi_0}{2}} - \frac{1}{\sin \frac{\Phi(t)}{2}}}{1 - \cos^2 \phi(t) \cos^2 \psi + \frac{J_{S\zeta} + J_{A\zeta} + J_{B\zeta} + 2m\eta_A^2}{m_2l^2}} dt. \quad (3.6)$$

**З а м е ч а н и е.** Корпус вибрационного робота имеет нулевую угловую скорость после поворота, так как  $\dot{\phi}(t_*) = \dot{\phi}_0$ .

**Утверждение 1.** Функция  $\gamma(t)$  может быть вычислена в квадратурах.

**Доказательство.** Из (3.2) следует, что

$$dt = \sin \frac{\Phi}{2} d\phi / \sqrt{m_2l \cos \psi / Mg}.$$

Подставим это выражение в (3.6):

$$\gamma(\varphi) = \sin \psi \int_{\varphi_0}^{\varphi} \frac{\frac{\sin \frac{\varphi}{2}}{2} - 1}{\frac{\sin \frac{\varphi_0}{2}}{2} + \frac{J_{S\xi} + J_{A\xi} + J_{B\xi} + 2m\eta_A^2}{m_2 l^2} + 1 - \cos^2 \psi \cos^2 \varphi} d\varphi. \quad (3.7)$$

Введем обозначения:

$$\cos^2 \psi = a, \quad \frac{J_{S\xi} + J_{A\xi} + J_{B\xi} + 2m\eta_A^2}{m_2 l^2} + 1 = j.$$

Тогда вычисление интеграла (3.7) сводится к нахождению двух интегралов:

$$I_1 = \int \frac{\sin \frac{\varphi}{2} d\varphi}{j - a \cos^2 \varphi}, \quad I_2 = \int \frac{d\varphi}{j - a \cos^2 \varphi}.$$

После подстановок  $u = \cos \frac{\varphi}{2}$  и  $\cos^2 \varphi = (2u^2 - 1)^2$

$$\begin{aligned} I_1 &= \int \frac{-2du}{j - a(2u^2 - 1)^2} = \frac{1}{a} \int \frac{-2du}{j/a - (2u^2 - 1)^2} = \frac{1}{2\sqrt{aj}} \int \left( \frac{1}{u^2 - A} - \frac{1}{u^2 + B} \right) du = \\ &= \frac{1}{2\sqrt{aj}} \left( \frac{1}{2\sqrt{A}} \ln \left| \frac{u - \sqrt{A}}{u + \sqrt{A}} \right| - \frac{1}{\sqrt{B}} \operatorname{arctg} \frac{u}{\sqrt{B}} \right), \end{aligned}$$

где

$$A = \frac{1 + \sqrt{\frac{j}{a}}}{2}, \quad B = \frac{\sqrt{\frac{j}{a}} - 1}{2},$$

$I_2$  вычисляется с помощью подстановки  $v = \operatorname{tg} \varphi$ :

$$I_2 = \frac{\operatorname{arctg} \sqrt{\frac{j}{j-a}} \operatorname{tg} \varphi}{\sqrt{j(j-a)}} + C,$$

где  $C$  определяется как

$$C = \begin{cases} 0 & \varphi \in (0, \pi/2), \\ \pi/\sqrt{j(j-a)} & \varphi \in [\pi/2, 3\pi/2], \\ 2\pi/\sqrt{j(j-a)} & \varphi \in [3\pi/2, 2\pi]. \end{cases}$$

Таким образом,

$$\gamma(\varphi) = \sin \psi \left[ \frac{\frac{1}{2\sqrt{A}} \ln \left| \frac{\cos \frac{\varphi}{2} - \sqrt{A}}{\cos \frac{\varphi}{2} + \sqrt{A}} \right| - \frac{1}{\sqrt{B}} \operatorname{arctg} \frac{\cos \frac{\varphi}{2}}{\sqrt{B}} - \frac{\operatorname{arctg} \sqrt{\frac{j}{j-a}} \operatorname{tg} \varphi}{\sqrt{j(j-a)}} + C}{2 \sin \frac{\varphi_0}{2} \sqrt{aj}} \right] \Big|_{\varphi_0}^{\varphi}. \quad (3.8)$$

Утверждение 1 доказано.

**4. Горизонтальное смещение.** 4.1. Смещение центра масс. По теореме о сохранении количества движения, во время фазы полета первое уравнение системы (2.2) допускает два первых интеграла:

$$\begin{cases} M\dot{x}(t)/m_2l = \cos\gamma\sin\phi(\dot{\gamma} + \dot{\phi}\sin\psi) + \cos\phi\sin\gamma(\dot{\gamma}\sin\psi + \dot{\phi}) - \sin\phi_0\sin\psi\dot{\phi}_0, \\ M\dot{y}(t)/m_2l = \sin\gamma\sin\phi(\dot{\gamma} + \dot{\phi}\sin\psi) - \cos\gamma\cos\phi(\dot{\gamma}\sin\psi + \dot{\phi}) + \cos\phi_0\dot{\phi}_0. \end{cases} \quad (4.1)$$

На практике наличие горизонтальной скорости, которую приобретет центр масс корпуса в момент завершения фазы полета, является нежелательным, поскольку она может привести к скольжению вибрационного робота по опорной поверхности. Определим условия, позволяющие обеспечить полную остановку корпуса после поворота:

$$\begin{cases} \dot{x}(t_*) = 0 \\ \dot{y}(t_*) = 0 \end{cases} \Rightarrow \begin{cases} \sin\psi\sin\phi_0(1 + \cos\gamma_*) = \cos\phi_0\sin\gamma_*, \\ \cos\phi_0(1 - \cos\gamma_*) = \sin\phi_0\sin\gamma_*\sin\psi. \end{cases} \quad (4.2)$$

**Утверждение 2.** При совершении поворота корпуса на ненулевой угол  $\gamma_*$ , отличный от  $\pi$ , условия равенства нулю боковой и продольной скорости в момент приземления эквивалентны. При повороте на угол  $\gamma_* = \pi$  общая скорость центра масс корпуса будет нулевой, если и только если начальное положение дебаланса  $\phi_0 = \pi/2$ .

**Доказательство.** Если  $\psi = 0$ , то из (3.5) следует, что  $\gamma(t) \equiv 0 = \gamma_*$ , т.е. поворота не происходит, и система (4.2) выполняется тождественно. Проведем доказательство для случая, когда рамка дебаланса отклонена на некоторый угол от вертикали.

Из первого уравнения системы (4.2)

$$\operatorname{tg}\phi_0 = \frac{1 - \cos\gamma_*}{\sin\gamma_*\sin\psi} = \frac{(1 - \cos\gamma_*)(1 + \cos\gamma_*)}{\sin\gamma_*\sin\psi(1 + \cos\gamma_*)} = \frac{\sin^2\gamma_*}{\sin\gamma_*\sin\psi(1 + \cos\gamma_*)} = \frac{\sin\gamma_*}{\sin\psi(1 + \cos\gamma_*)}.$$

Таким образом, при  $\gamma_* \neq \pi$  первое и второе условия системы (4.2) эквивалентны. Если же  $\gamma_* = \pi$ , то первое условие системы (4.2) выполняется тождественно, а второе принимает вид  $\cos\phi_0 = 0$  и, следовательно, выполняется при  $\phi_0 = \pi/2$ . Утверждение 2 доказано.

4.2. Траектория центра масс. Система (4.2) может быть представлена в виде

$$\frac{d}{dt}(M(x\vec{e}_x + y\vec{e}_y) + m_2\overrightarrow{SC}) = m_2l\dot{\phi}_0(\cos\phi_0\vec{e}_y - \sin\phi_0\sin\psi\vec{e}_x).$$

Пусть начальное положение корпуса таково, что  $x(0) = 0$ ,  $y(0) = 0$ . Тогда

$$\begin{cases} \frac{M}{m_2l}x(t) + \sin\psi\cos\gamma\cos\phi - \sin\gamma\sin\phi = -\dot{\phi}_0t\sin\phi_0\sin\psi + \sin\psi\cos\phi_0, \\ \frac{M}{m_2l}y(t) + \sin\phi\cos\gamma + \sin\psi\cos\phi\sin\gamma = \dot{\phi}_0t\cos\phi_0 + \sin\phi_0. \end{cases} \quad (4.3)$$

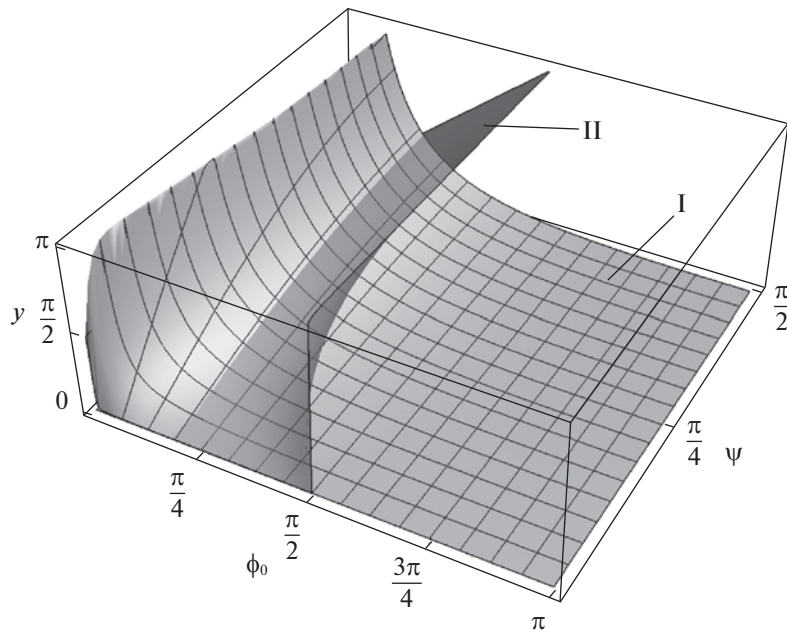
Система (4.3) описывает траекторию центра масс корпуса  $S$  в горизонтальной плоскости.

4.3. Максимальный угол поворота. Оценим наибольший угол поворота корпуса, после которого его центр масс  $S$  останавливается. Для этого запишем первое уравнение системы (4.2) в следующей форме:

$$\gamma_* = 2 \operatorname{arctg}(\sin\psi\operatorname{tg}\phi_0). \quad (4.4)$$

Это уравнение задает двумерную поверхность в пространстве  $\gamma_*$ ,  $\phi_0$ ,  $\psi$ . Интересующие нас движения лежат на пересечении этой поверхности с поверхностью всевозможных поворотов, которая задается формулой (3.8) при подстановке  $\phi = 2\pi - \phi_0$ . Из физических соображений ясно, что максимальный угол поворота корпуса достигается при стремлении  $\psi \rightarrow \pi/2$ , так как в этом положении рамка горизонтальна, и весь кинетический момент дебаланса направлен на поворот. (Также это можно увидеть из уравнения (3.5), однако оговоримся, что при  $\psi = \pi/2$  не может быть организовано управление  $\phi(t)$ , обеспечивающее отсутствие контакта корпуса с опорой (3.3).) Поэтому наибольший угол поворота должен удовлетворять соотношению:

$$\gamma_{\max}(\phi_0) = \lim_{\psi \rightarrow \pi/2} 2\operatorname{arctg}(\sin\psi\operatorname{tg}\phi_0) = 2\phi_0.$$



**Рис. 2.** Зависимость угла поворота корпуса от параметров  $\phi_0, \psi$

С другой стороны, угол поворота должен быть реализован вибрационным роботом и удовлетворять уравнению (3.8) при  $\psi \rightarrow \pi/2$ :

$$\gamma_{\max}(\phi_0) = \lim_{\psi \rightarrow \pi/2} \gamma(2\pi - \phi_0) = \frac{2}{j} \left( \phi_0 - \pi + 2 \operatorname{ctg} \frac{\phi_0}{2} \right).$$

Вышесказанное рассуждение можно сформулировать в следующем виде.

**Утверждение 3.** Максимальный угол поворота корпуса при полной остановке центра масс после завершения фазы полета равен  $\gamma_{\max} = 2\phi^*$ , где  $\phi^*$  определяется из уравнения

$$2\phi^* = \frac{2}{j} \left( \phi^* - \pi + 2 \operatorname{ctg} \frac{\phi^*}{2} \right).$$

**5. Численное моделирование движения.** 5.1. Поворот робота. Зафиксируем параметры системы следующим образом:  $M = 15$  кг,  $m_2 = 10$  кг,  $\eta_A = 1$ ;  $(J_{S\zeta} + J_{A\zeta} + J_{B\zeta} + 2m\eta_A^2)/m_2l^2 = 5$ . На рис. 2 поверхность I описывает зависимость возможных углов поворота корпуса  $\gamma_*$  от параметров  $\phi_0, \psi$ . Она построена по формуле (3.8) при подстановке  $\varphi = 2\pi - \phi_0$ . Поверхность II задана уравнением (4.4) – пересечение этих множеств соответствует таким поворотам вибрационного робота, после которых корпус будет иметь нулевую скорость. Согласно утверждению 3, наибольший угол поворота при условии остановки корпуса составляет  $71.1^\circ$ .

Из общего вида поверхностей можем заключить, что они пересекаются по прямой  $\gamma_* = 0$ ;  $\psi = 0$ , которая соответствует смещению корпуса в продольном направлении без поворота, а также некоторой кривой в пространстве  $\phi_0, \psi, \gamma$ . Эта кривая обладает следующим свойством: переменная  $\psi$  растет и убывает одновременно с переменной  $\phi_0$ . Поэтому справедливо следующее утверждение.

**Утверждение 4.** Для каждого установочного угла рамки  $\psi \neq 0$  существует единственное начальное положение дебаланса  $\phi_0$ , при котором корпус останавливается после поворота. Угол этого поворота возрастает с увеличением  $\psi$ , а  $\phi_0$  лежит в диапазоне  $(34.7; 35.7^\circ)$ .

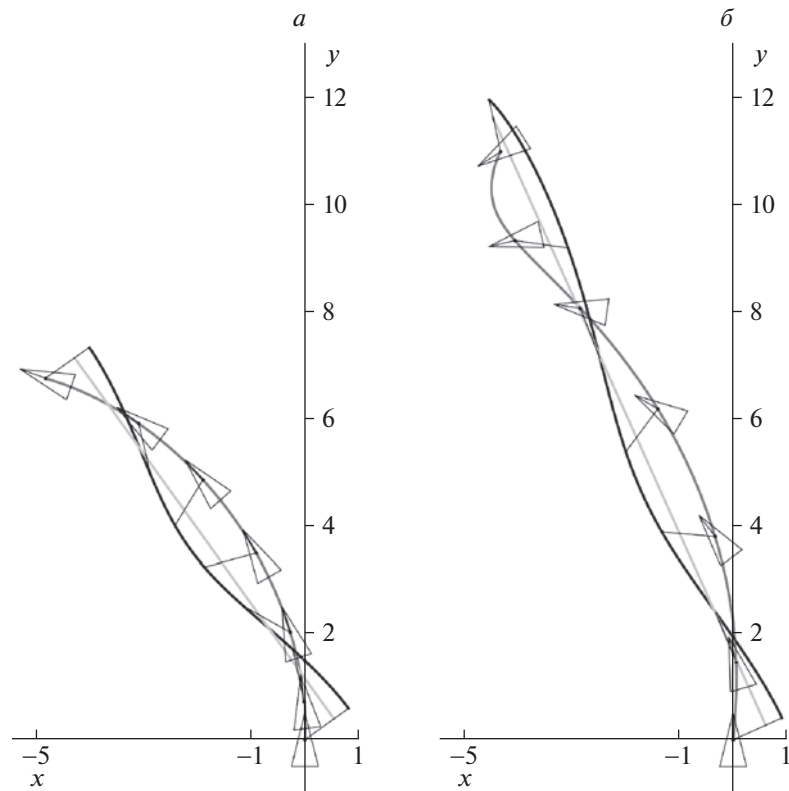


Рис. 3. Траектории точек системы в горизонтальной плоскости при совершении поворота

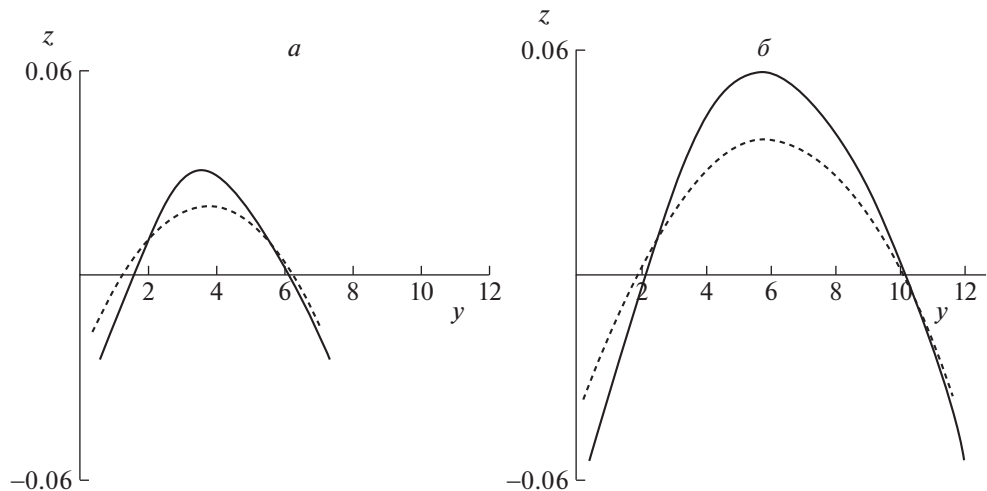


Рис. 4. Траектории точек системы в вертикальной плоскости при совершении поворота

5.2. Траектория корпуса. Рассмотрим траекторию центра масс на плоскости  $xy$  во время фазы полета. Рисунки 3, 4 иллюстрируют движение вибрационного робота в горизонтальной и вертикальных плоскостях соответственно при:

а)  $\varphi_0 = 35.69^\circ$ ,  $\psi = 88^\circ$ , выбранных из условий (3.8) и (4.4); угол поворота корпуса при этих параметрах составляет  $70^\circ$ ;

б)  $\varphi_0 = 24^\circ$ ,  $\psi = 86^\circ$ , не соответствующих условиям (3.8) и (4.4); в этом случае корпус поворачивает вокруг вертикали на  $127.5^\circ$ .

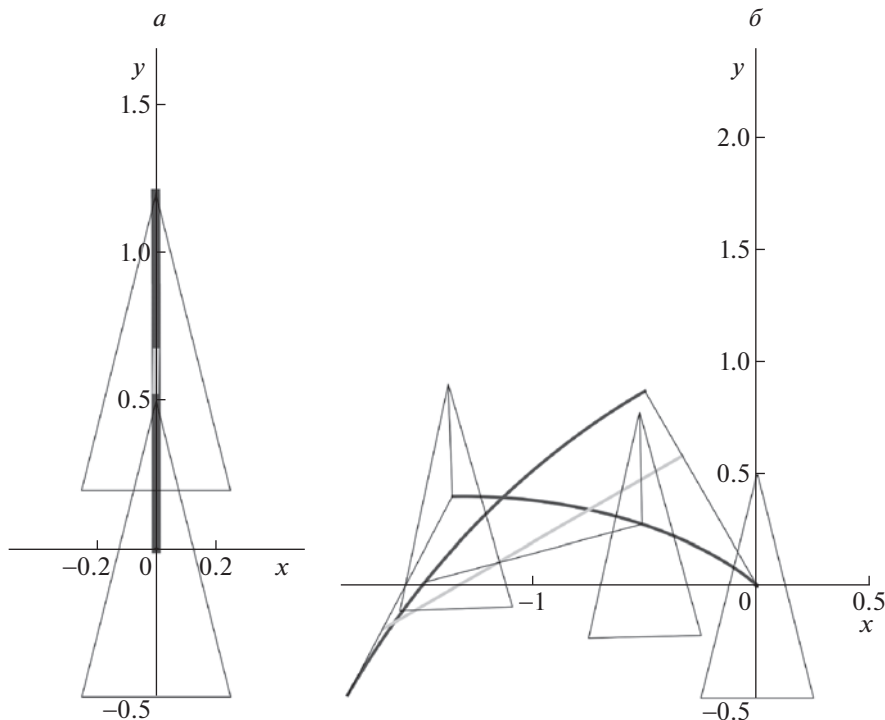


Рис. 5. Траектории точек системы в горизонтальной плоскости при  $\phi_0 > \pi/2$

Черным цветом представлены траектории центра масс корпуса  $S$ , серым – траектории дебаланса  $C$ , пунктиром – траектории центра масс системы. При отсутствии контакта с опорой на систему действует единственная внешняя по отношению к ней сила – сила тяжести. Однако проекция этой силы на горизонтальную плоскость нулевая, в связи с чем центр масс системы в плоскости  $xy$  движется по инерции равномерно и прямолинейно.

Еще одна особенность рассматриваемой системы заключается в том, что выбор параметров, отвечающих остановке вибрационного робота после поворота, обеспечивает постоянную ориентацию корпуса вдоль касательной к траектории точки  $S$  (рис. 3, а). Результат проверен численно для возможных углов поворотов  $\gamma_*$  в диапазоне  $(0, 71.1^\circ]$ .

Однако если параметры  $\phi_0, \psi$  не соответствуют условиям (3.8) и (4.4), то корпус будет отклоняться от касательной к траектории точки  $S$  и в конце фазы полета направление скорости его центра масс будет отлично от ориентации вибрационного робота (рис. 3, б).

На рис. 4 представлены проекции точек системы на вертикальную плоскость. Под действием силы тяжести центр масс системы движется по параболе с ускорением  $-g\vec{e}_z$ . Наивысшая точка траектории достигается в момент прохождения дебалансом положения  $\varphi = \pi$ .

Любопытно, что если  $\phi_0 > \pi/2$ , то центр масс всей системы движется назад относительно корпуса, а сам корпус смещается в положительном направлении по оси  $y$ , хотя и на малое расстояние. Так, наибольшее смещение достигается при вертикальном положении рамки (рис. 5, а), а наибольший угол поворота не превосходит  $8^\circ$  и реализуется при горизонтальном положении рамки (рис. 5, б). Из вида поверхности на рис. 2 следует, что на описанном классе движений поворот робота несовместим с остановкой после завершения фазы полета.

**Заключение.** Рассмотрено плоскопараллельное движение в поле силы тяжести вибрационного робота, представленного корпусом, дебалансом, закрепленным в центре корпуса, и двумя однородными маховиками. Плоскость вращения дебаланса может быть отклонена от вертикали на фиксированный угол. Управление роботом происходит за счет выбора углового ускорения дебаланса и маховиков. В результате работы была построена математическая модель движения робота, и для него были найдены шесть режимов управления, которые реализуют поворот робота на некоторый угол.

Представлен параметрический анализ системы, в рамках которого продемонстрирована зависимость угла поворота корпуса от начального положения дебаланса и установочного угла рамки в фазе полета. Показано, что поворот корпуса сопряжен с общим смещением корпуса в продольном и боковом направлениях. При этом возможность выбора параметров, обеспечивающих полную остановку корпуса после поворота, доказана аналитически. Также оценен максимальный угол поворота робота, после которого его корпус останавливается.

### СПИСОК ЛИТЕРАТУРЫ

1. Черноуско Ф.Л. Анализ и оптимизация движения тела, управляемого посредством подвижной внутренней массы // ПММ. 2006. № 6. Т. 70. С. 915–941.
2. Блехман И.И. Вибрационная механика. М.: Наука, 1994.
3. Yan Y., Zhang B., Chávez J.P., Liu Y. Optimising the Locomotion of a Vibro-impact Capsule Robot Self-propelling In the Small Intestine // Communications in Nonlinear Science and Numerical Simulation. 2022. № 1. V. 3.  
[https://doi.org/10.1007/978-3-030-81170-9\\_12](https://doi.org/10.1007/978-3-030-81170-9_12)
4. Liao M., Zhang J., Liu Y., Zhu D. Speed Optimisation and Reliability Analysis of a Self-propelled Capsule Robot Moving in an Uncertain Frictional Environment // Intern. J. Mechanical Sciences. 2022. V. 221. № 107156.  
<https://Doi.org/10.1016/j.ijmecsci.2022.107156>
5. Черноуско Ф.Л., Шматков А.М. Оптимальное управление поворотом твердого тела при помощи внутренней массы // Изв. РАН. ТиСУ. 2019. № 3. С. 10–23.  
<https://doi.org/10.1134/S0002338819030065>
6. Черноуско Ф.Л. Об использовании нескольких подвижных масс для переориентации тела // Доклады Российской академии наук. Физика, технические науки. 2022. Т. 503. № 1. С. 52–56.
7. Nunuparov A., Becker F., Bolotnik N. et al. Dynamics and Motion Control of a Capsule Robot with an Opposing Spring. Arch Appl Mech. 2019 V. 89. P. 2193–2208. <https://Doi.org/10.1007/s00419-019-01571-8>.
8. Досаев М.З., Климина Л.А., Самсонов В.А., Сельцкий Ю.Д. Плоскопараллельное движение робота-змеи при наличии анизотропного сухого трения и единственного управляющего сигнала // Изв. РАН. ТиСУ. 2022. № 5. С. 134–143.  
<https://doi.org/10.31857/S0002338822050067>
9. Черноуско Ф.Л. Управление движением многозвенников на шероховатой плоскости // Тр. ИММ УрО РАН. 2000. Т. 6. № 1. С. 277–287.
10. Ветчинин Е.В., Килин А.А. Свободное и управляемое движение в жидкости тела с подвижной внутренней массой при наличии циркуляции вокруг тела // ДАН. 2016. Т. 466. № 3. С. 293–297.
11. Килин А.А., Кленов А.И., Тененев В.А. Управление движением тела с помощью внутренних масс в вязкой жидкости // Компьютерные исследования и моделирование. 2018. Т. 10. № 4. С. 445–460.
12. Pollard B., Tallapragada P. Passive Appendages Improve the Maneuverability of Fishlike Robots // IEEE/ASME Transactions on Mechatronics. 2019. V. 24. № 4. P. 1586–1596.
13. Волкова Л.Ю., Яцун С.Ф. Управление движением трехмассового робота, перемещающегося в жидкой среде // Нелинейная динамика. 2011. Т. 7. № 4. С. 845–857.
14. Tallapragada P., Gandra C. A Mobile Mathieu Oscillator Model for Vibrational Locomotion of a Bristlebot // J. Mechanisms and Robotics. 2021. V. 13. № 5. P. 054501.
15. Кугушев Е.И., Попова Т.В., Сазонов С.В. О движении системы с перемещающимся внутренним элементом при наличии внешнего вязкого трения // Вестн. МГУ. Сер. 1. Математика, механика. 2020. № 5. С. 50–56.
16. Фигуриня Т.Ю. Оптимальное управление системой материальных точек на прямой с сухим трением // Изв. РАН. ТиСУ. 2015. № 5. С. 3–9.
17. Болотник Н.Н., Губко П.А., Фигуриня Т.Ю. О возможности безрезервного периодического прямолинейного движения системы двух тел на шероховатой плоскости // ПММ. 2018. Т. 82. № 2. С. 138–148.
18. Черноуско Ф.Л. Плоские движения тела, управляемого при помощи подвижной массы // Доклады Российской академии наук. Физика, технические науки. 2020. Т. 494. № 1. С. 69–74.
19. Иванов А.П., Сахаров А.В. Динамика твердого тела с подвижными внутренними массами и ротором на шероховатой плоскости // Нелинейная динамика. 2012. Т. 8. № 4. С. 763–772.
20. Бардин Б.С. О безударных прыжках тела, несущего подвижные массы // Матер. XVIII Междунар. симпоз. “Динамика виброударных (сильно нелинейных) систем” DYVIS-2015. М., 2015. С. 42–49.
21. Голицына М.В. Периодический режим движения вибрационного робота при ограничении по управлению // ПММ. 2018. № 1. С. 627–636.
22. Dosaev M., Samsonov V., Holub A. Plane-Parallel Motion of a Friction-Powered Robot Moving Along a Rough Horizontal Plane // Advances in Mechanism and Machine Science. IFToMM WC 2019. Mechanisms and Machine Science 73. Cham: Springer, 2019.

23. Dosaev M., Samsonov V., Hwang S. Construction of Control Algorithm in the Problem of the Planar Motion of a Friction-powered Robot with a Flywheel and an Eccentric Weight // Applied Mathematical Modelling 2021. V. 89. Pt 2. P. 1517–1527.
24. Dosaev M. Algorithm for Controlling an Inertiod Robot with a Flywheel and an Unbalance in Conditions of Restrictions on the Angular Acceleration of the Unbalance // Applied Mathematical Modelling. 2022. V. 109. P. 797–807. <https://doi.org/10.1016/j.apm.2022.05.021>.
25. Сахаров А.В. Поворот тела без внешних движителей при помощи ротора // Тр. МФТИ. 2014. Т. 6. № 2. С. 80–91.
26. Сахаров А.В. Поворот тела с двумя подвижными внутренними массами на шероховатой плоскости // ПММ. 2015. Т. 79. Вып. 2. С. 196–209.
27. Черноуско Ф.Л. Движение тела по плоскости под влиянием подвижных внутренних масс // ДАН. 2016. Т. 470. № 4. С. 406–410.
28. Черноуско Ф.Л. Управление плоскими движениями тела при помощи подвижной массы // ПММ. 2021. Т. 85. Вып. 4. С. 414–425.
29. Huda M.N., Yu H. Modelling and Motion Control of a Novel Double Parallel Mass Capsubot // IFAC Proceedings Volumes. 2011. V. 44. Iss. 1. P. 8120–8125.
30. Semendyaev S.V., Tsyanov A.A. Model and Investigation of Dynamics of Solid System with Two Massive Eccentrics on a Rough Plane // ECCOMAS Congress. Proc. 7th Europ. Cong. Comp. Meth. in Appl. Sci. and Eng. Crete, 2016. V. 3. P. 4572–4583.
31. Semendyaev S.V. Solid System with Two Massive Eccentrics on a Rough Plane: Rotational Case // IFAC-PapersOnLine. 2018. V. 51 (2). P. 884–889.
32. Zhan X., Xu J., Fang H. Planar Locomotion of a Vibration-driven System with Two Internal Masses // Applied Mathematical Modelling. 2016. V. 40. № 2. P. 871–885.
33. Zhan X., Xu J., Fang H. A Vibration-driven Planar Locomotion Robot Shell // Robotica 2018. V. 36. № 9. P. 1402–1420.
34. Klimina L.A. Rotational Modes of Motion for an Aerodynamic Pendulum with a Vertical Rotation Axis // Moscow Univ. Mech. Bull. 2009. V. 64. P. 126–129.  
<https://doi.org/10.3103/S0027133009050069>
35. Сельцкий Ю.Д. Предельные циклы в динамике упруго закрепленного аэродинамического маятника // Известия Российской академии наук. Механика твердого тела. 2022. № 1. С. 133–144.  
<https://doi.org/10.31857/s0572329922010093>
36. Tikhonov A.A. Natural Magneto-velocity Coordinate System for Satellite Attitude Stabilization: The Concept and Kinematic Analysis // J. Appl. Comput. Mech., 2021. V. 7 (4). P. 2113–2119.  
<https://doi.org/10.22055/JACM.2021.37817.3094>
37. Голицына М.В. Анализ, управление и оптимизация движения вибрационного робота // Кандидатская диссертация по специальности 01.02.01 – Теоретическая механика. 2018.